

1/25

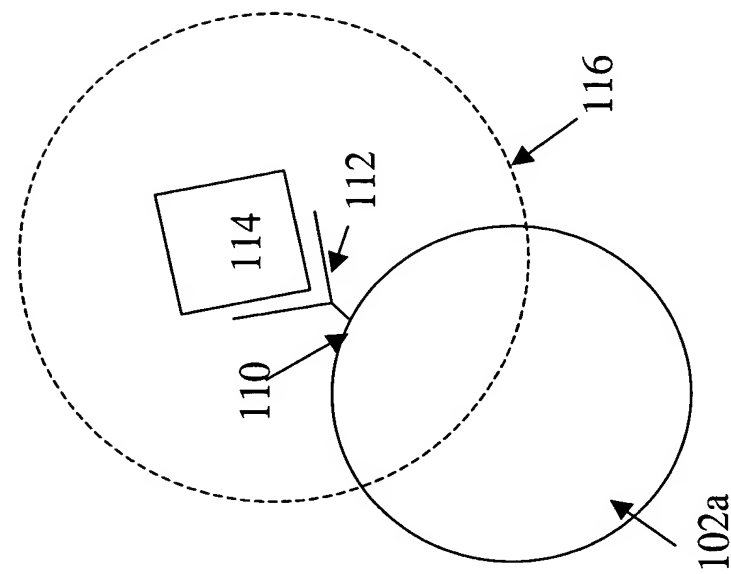


Fig. 1B

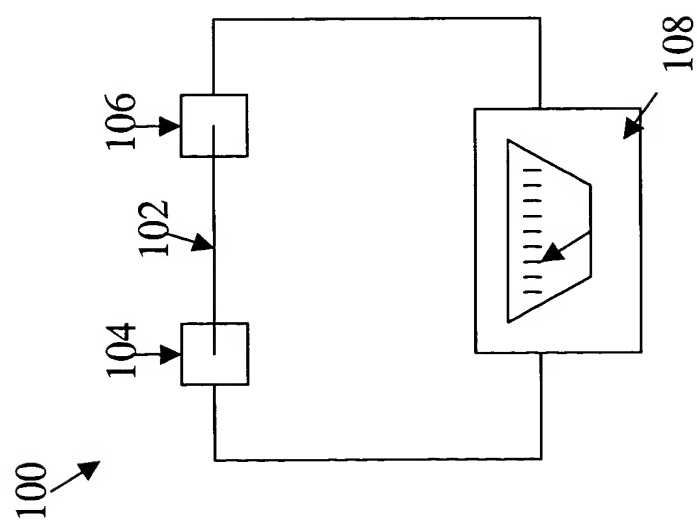


Fig. 1A

2/25

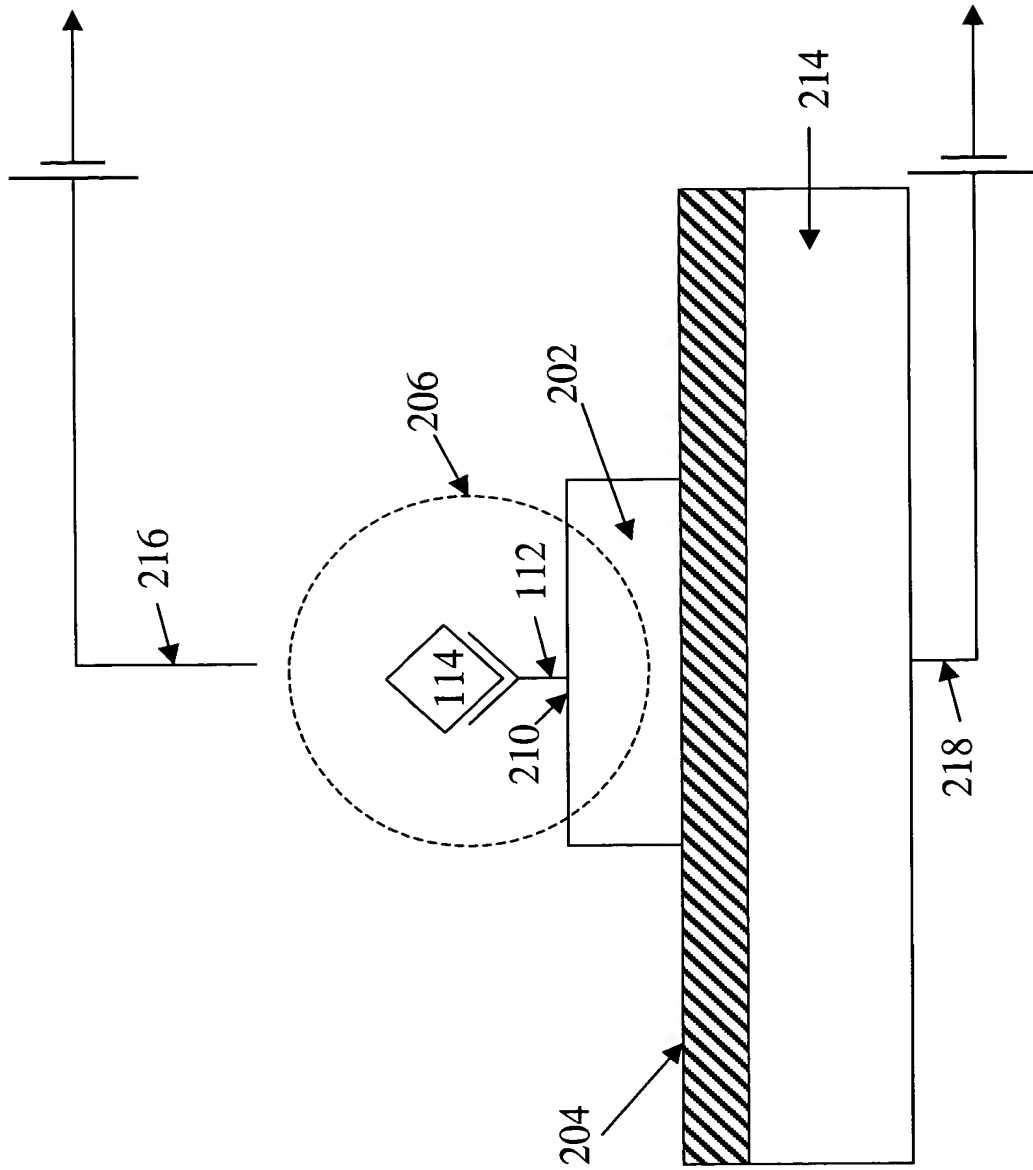
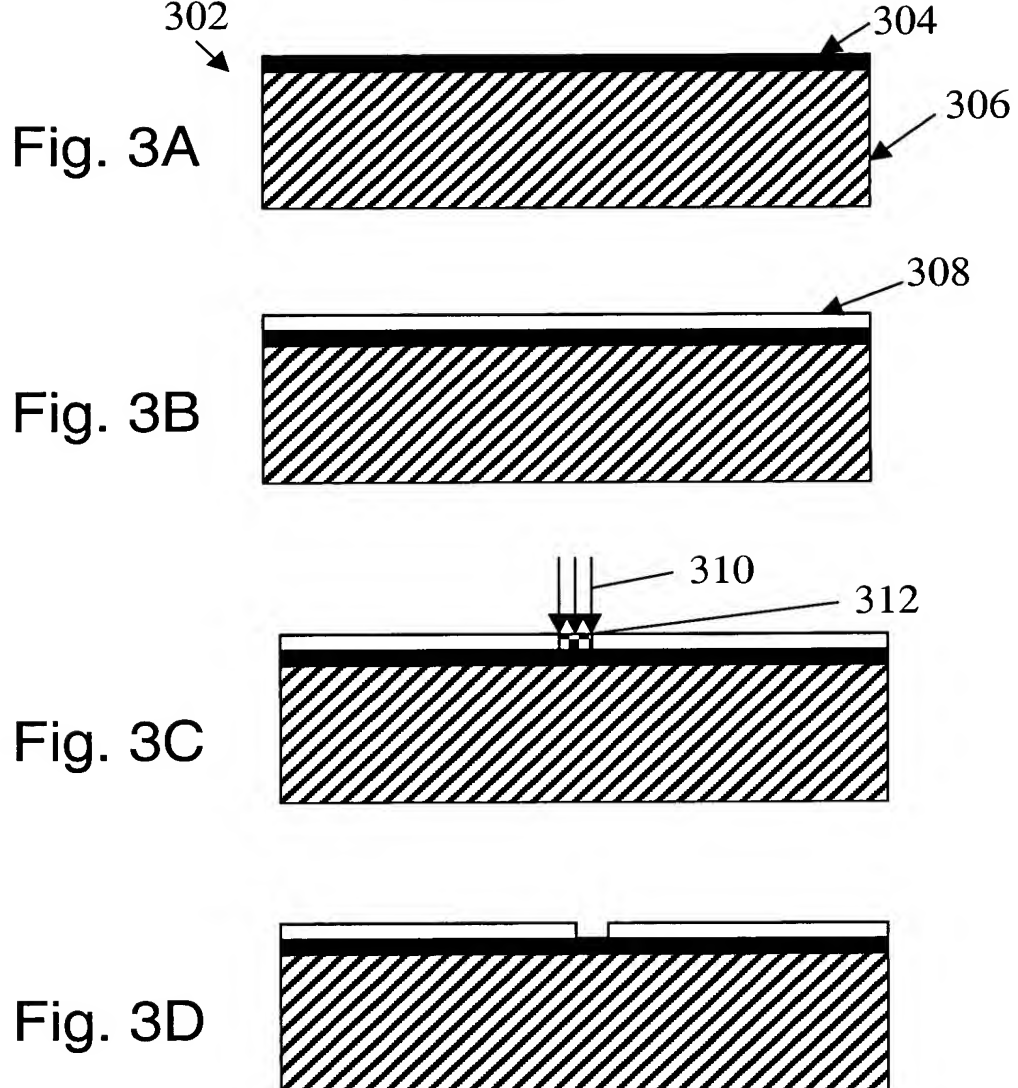


Fig. 2

3/25



4/25

Fig. 3E

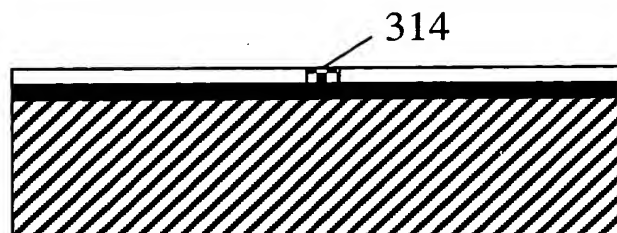


Fig. 3F

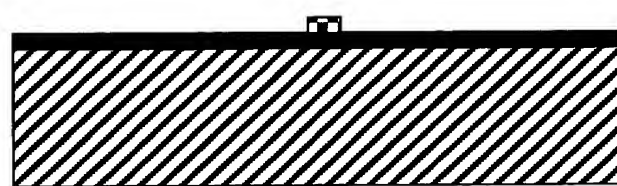


Fig. 3G

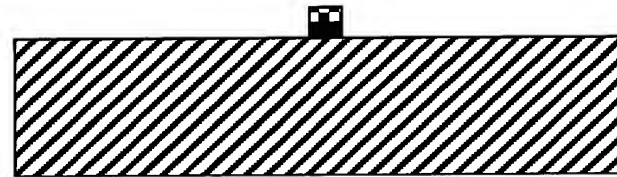


Fig. 3H



5/25

Fig. 4A

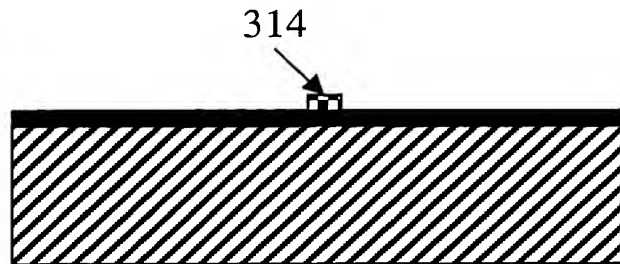


Fig. 4B

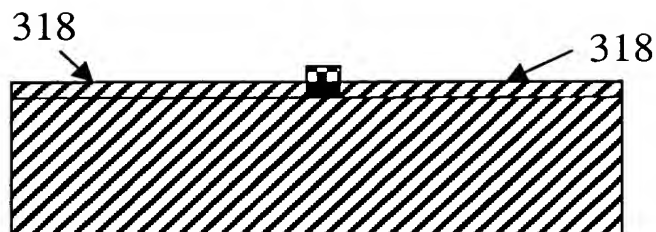
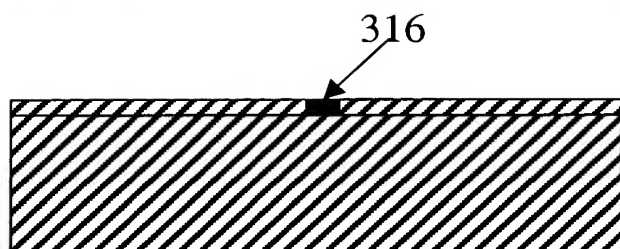


Fig. 4C



6/25

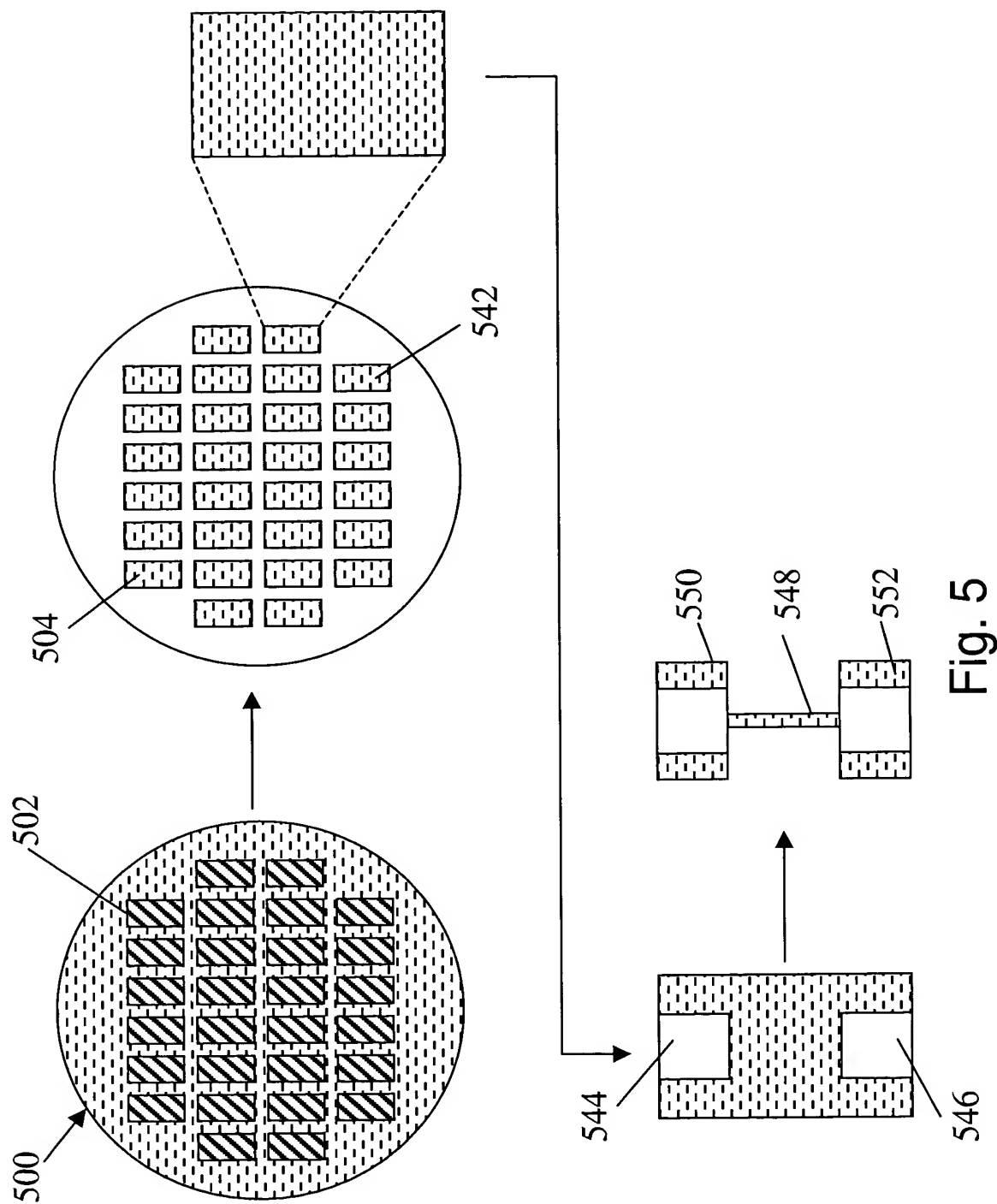


Fig. 5

7/25

Fig. 6A

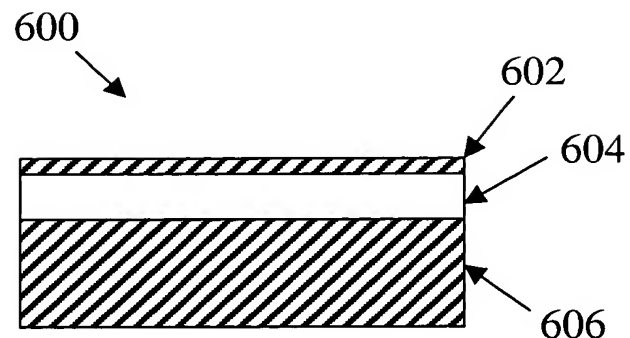


Fig. 6B

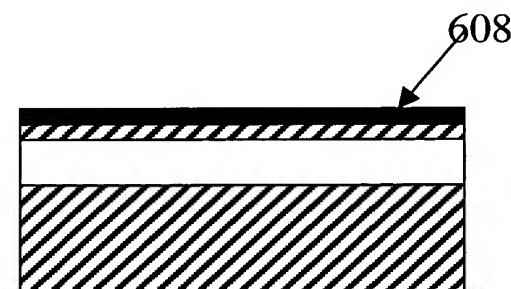


Fig. 6C



8/25

Fig. 6D

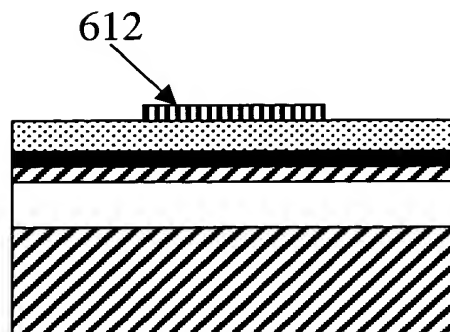


Fig. 6E

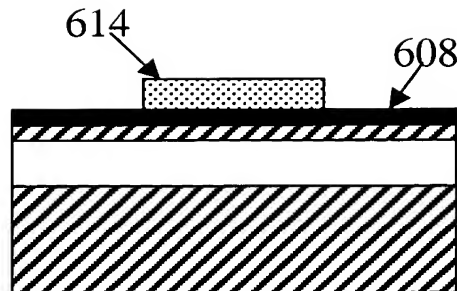
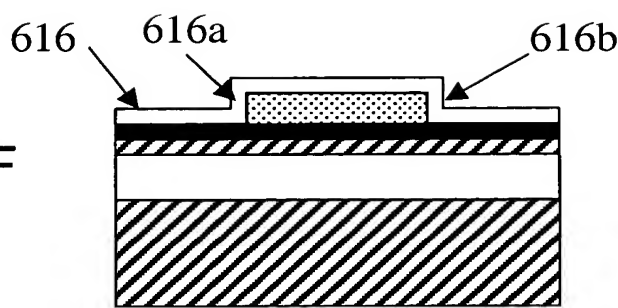


Fig. 6F



9/25

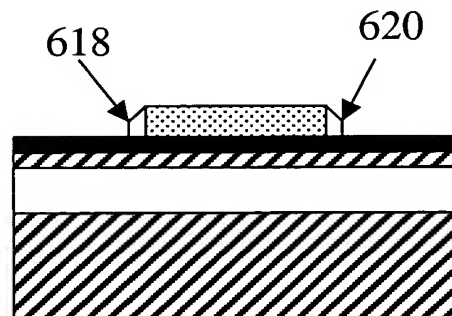


Fig. 6G

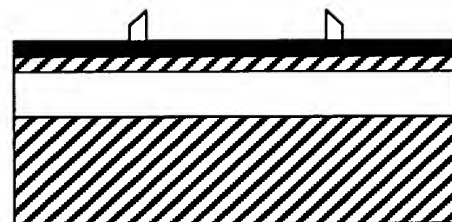


Fig. 6H

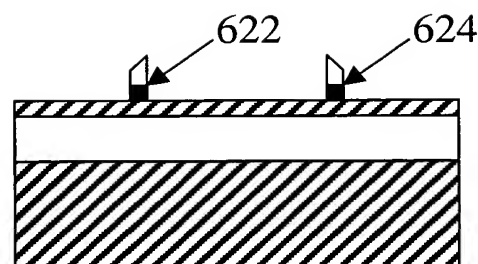


Fig. 6I

10/25

Fig. 6J

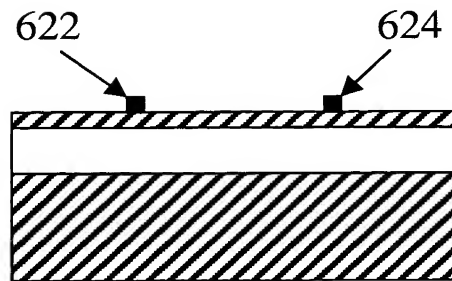


Fig. 6K

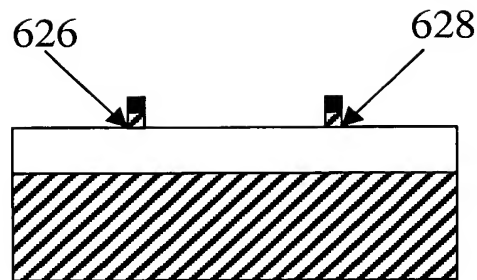
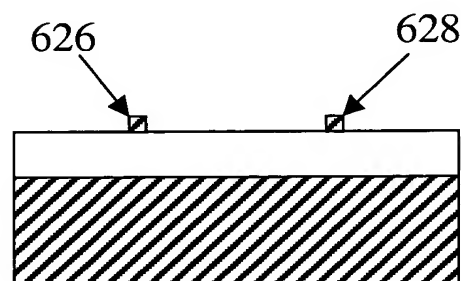


Fig. 6L



11/25

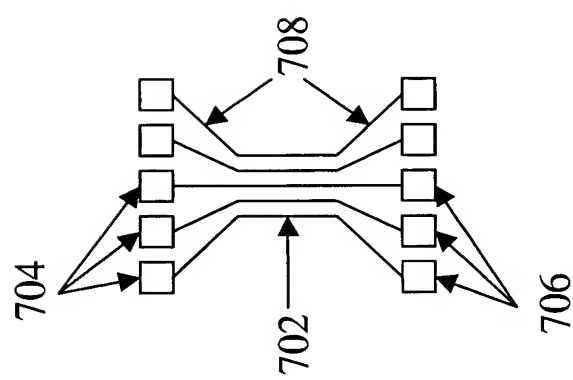


Fig. 7B

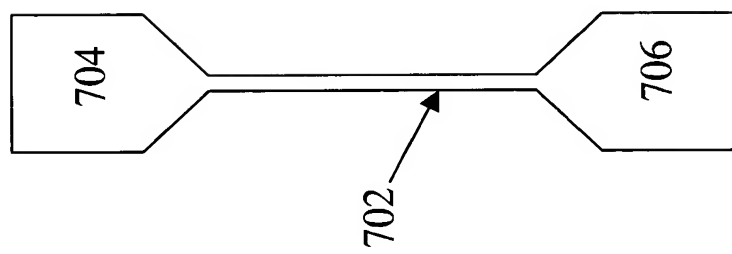


Fig. 7A

12/25

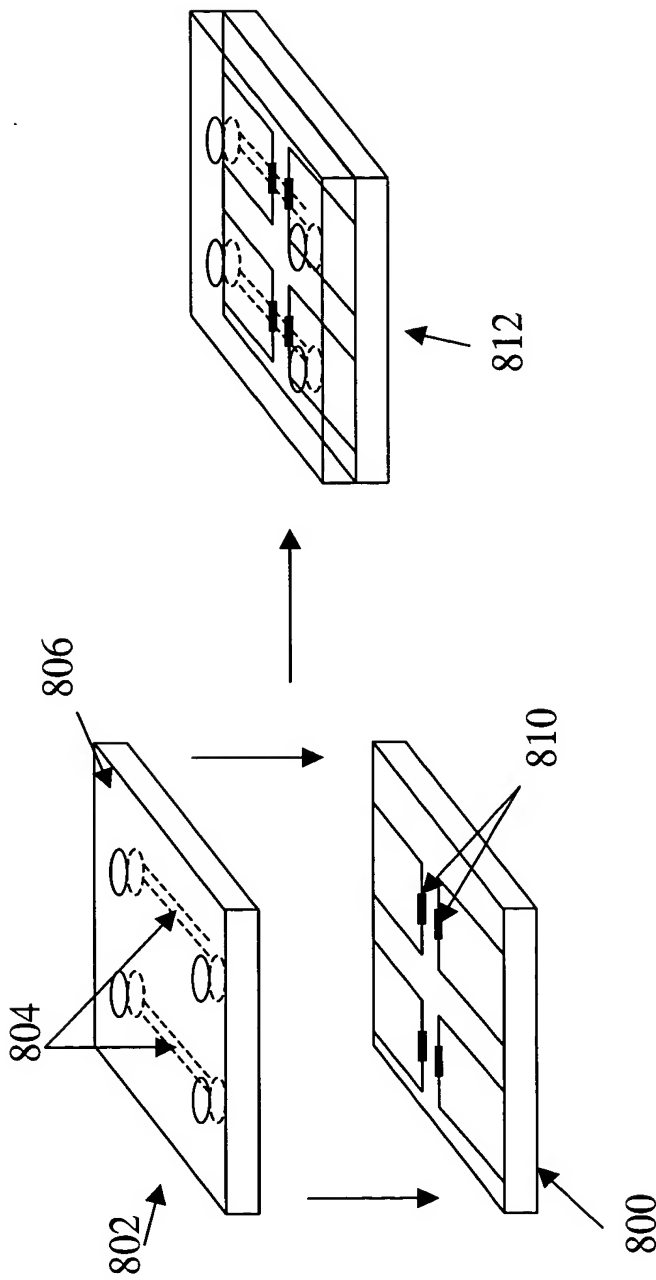


Fig. 8

13/25

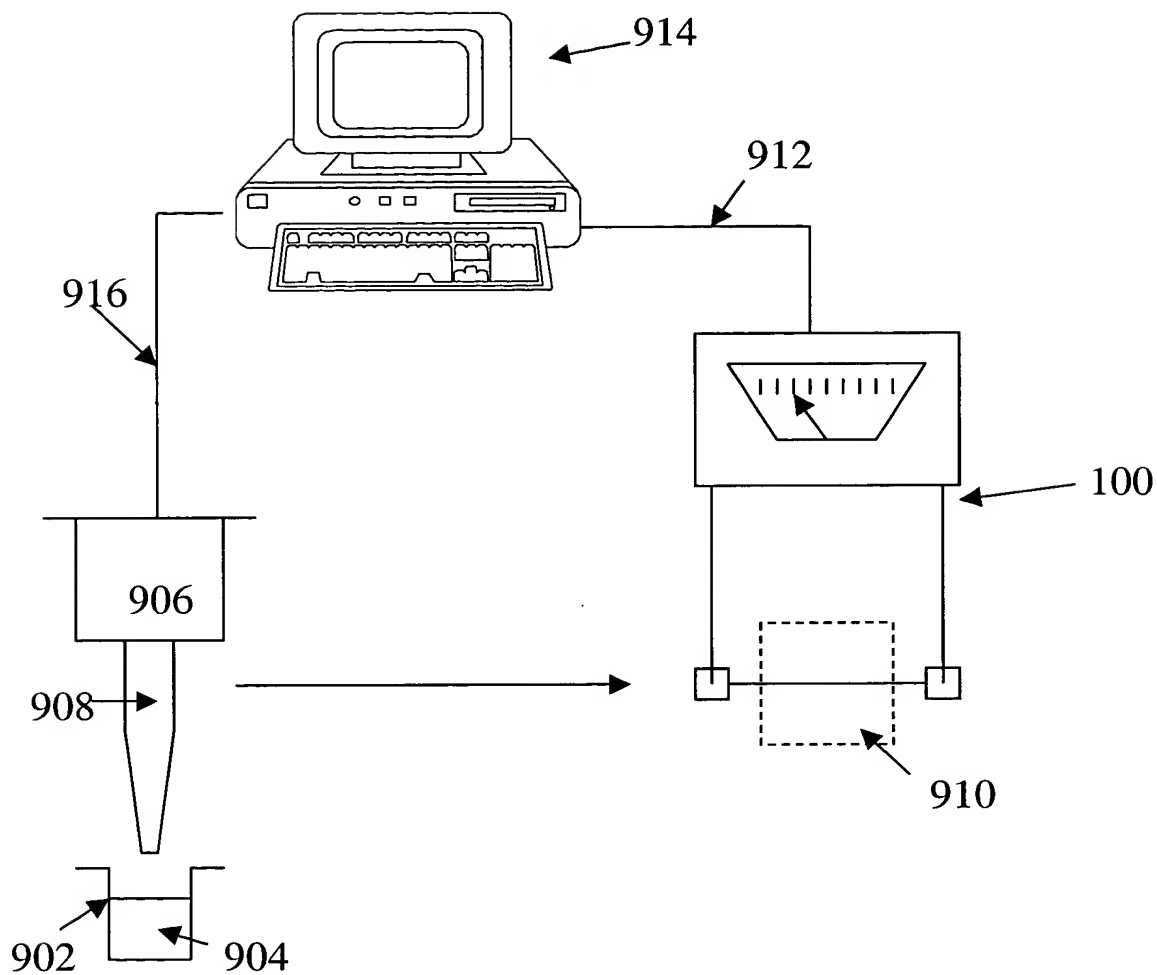


Fig. 9

14/25

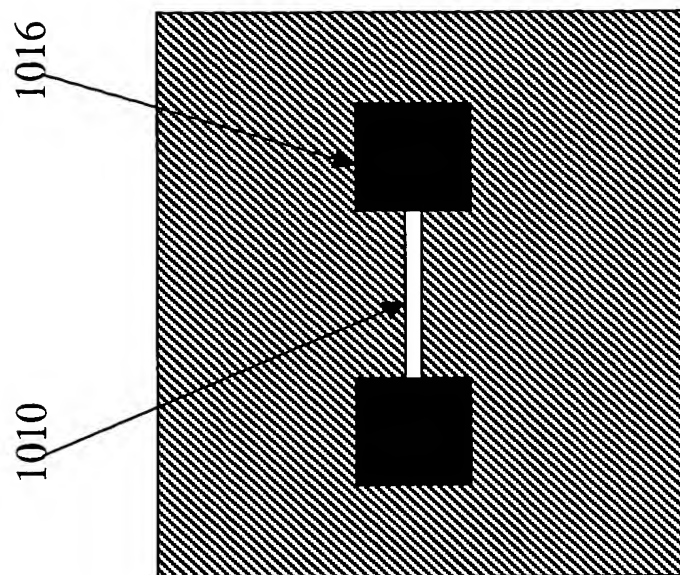


Fig. 10B

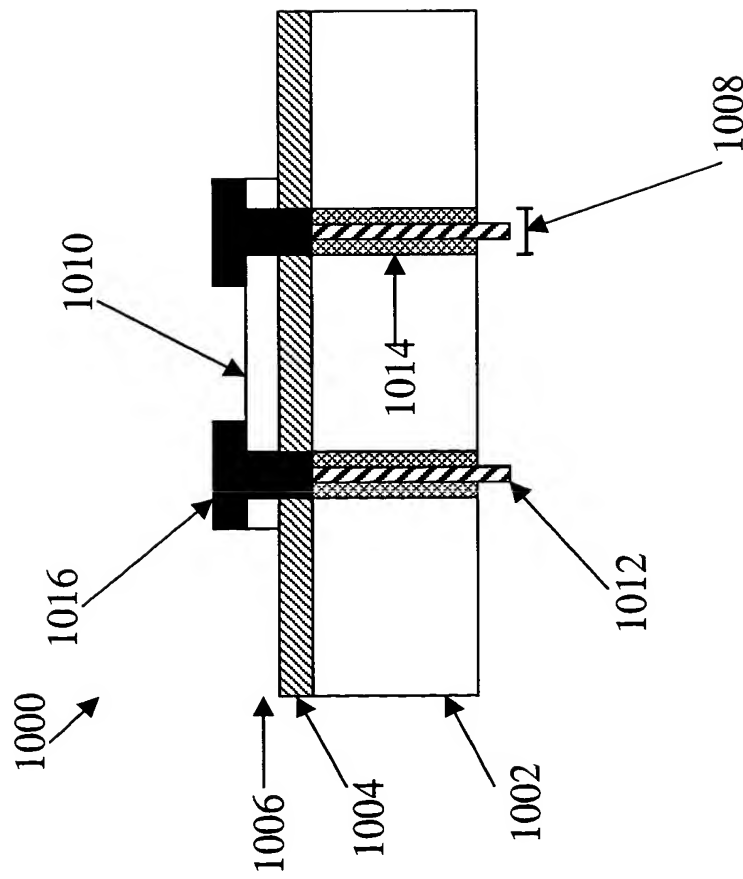


Fig. 10A

15/25

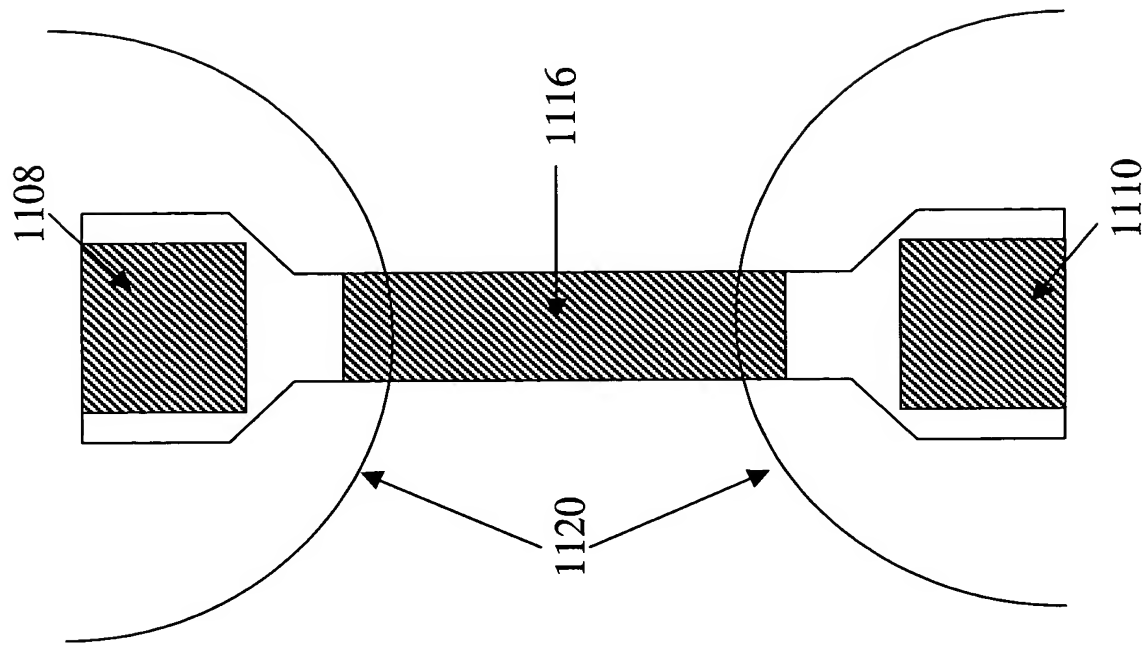


Fig. 11B

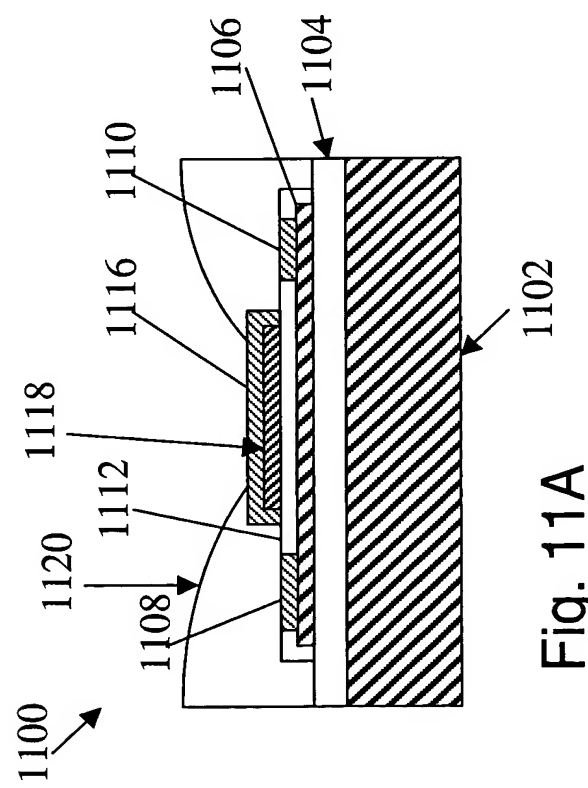
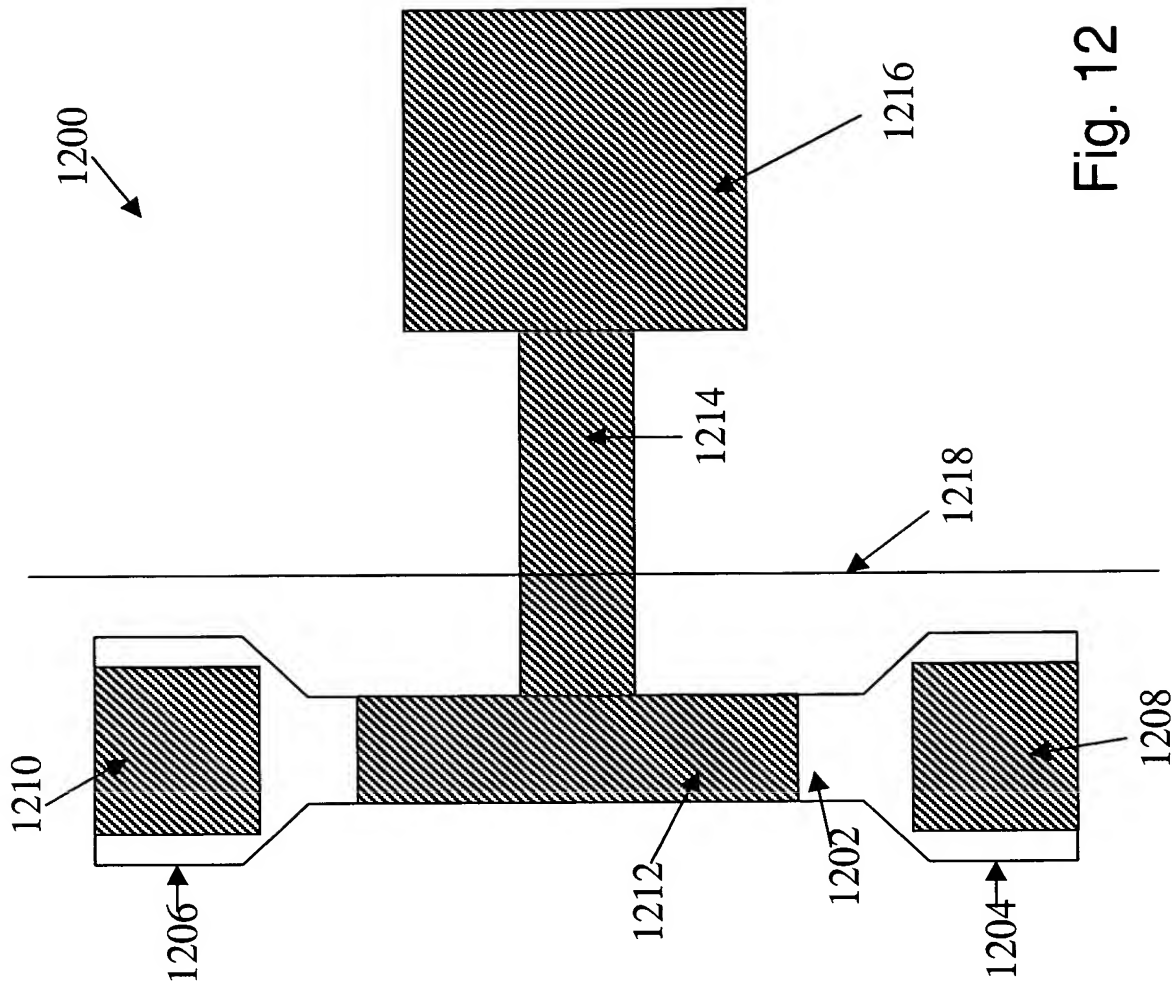


Fig. 11A

16/25



17/25

pH curves unmodified wir

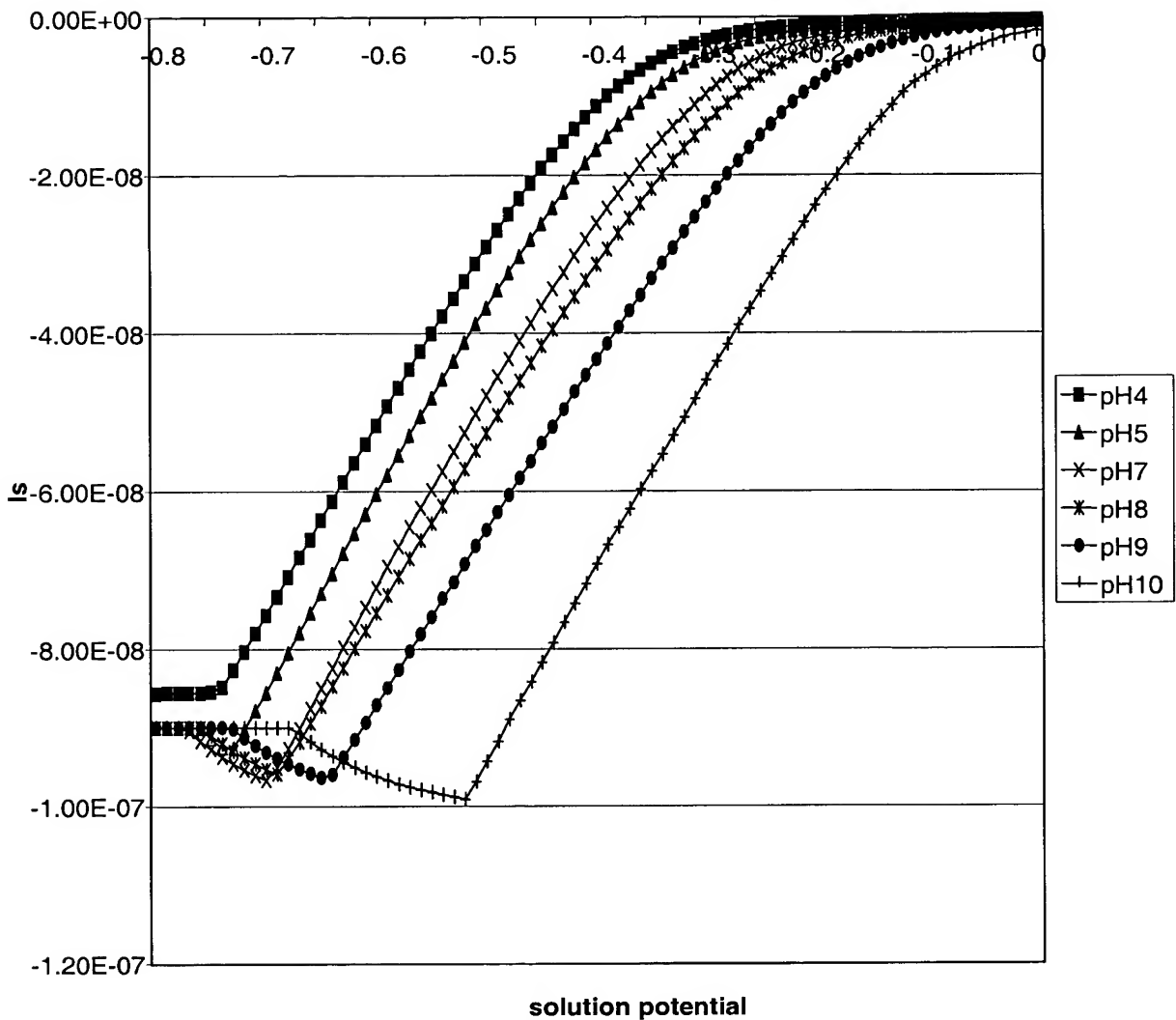


Fig. 13A

18/25

pH r spons

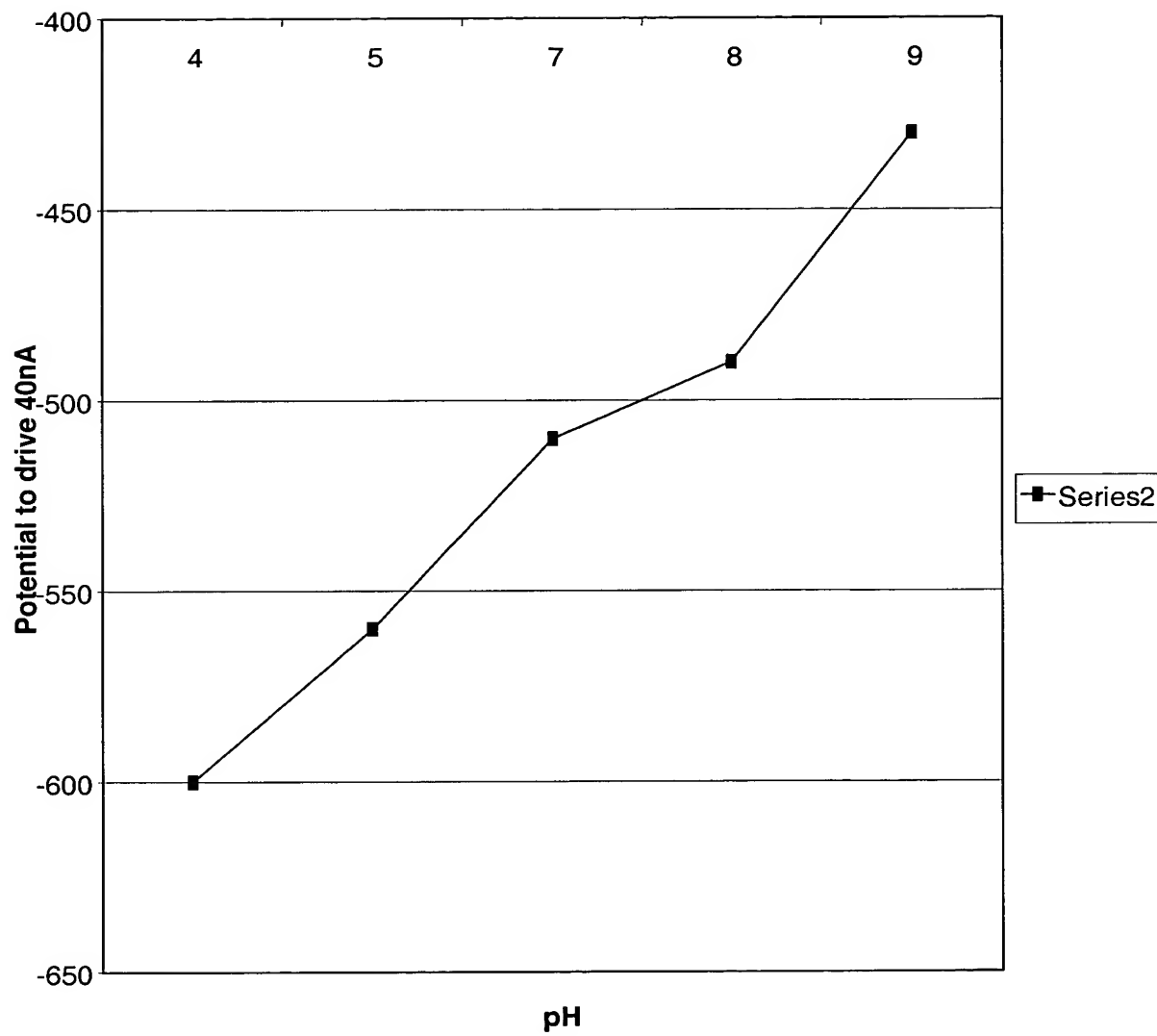


Fig. 13B

19/25

Drift over time pH7

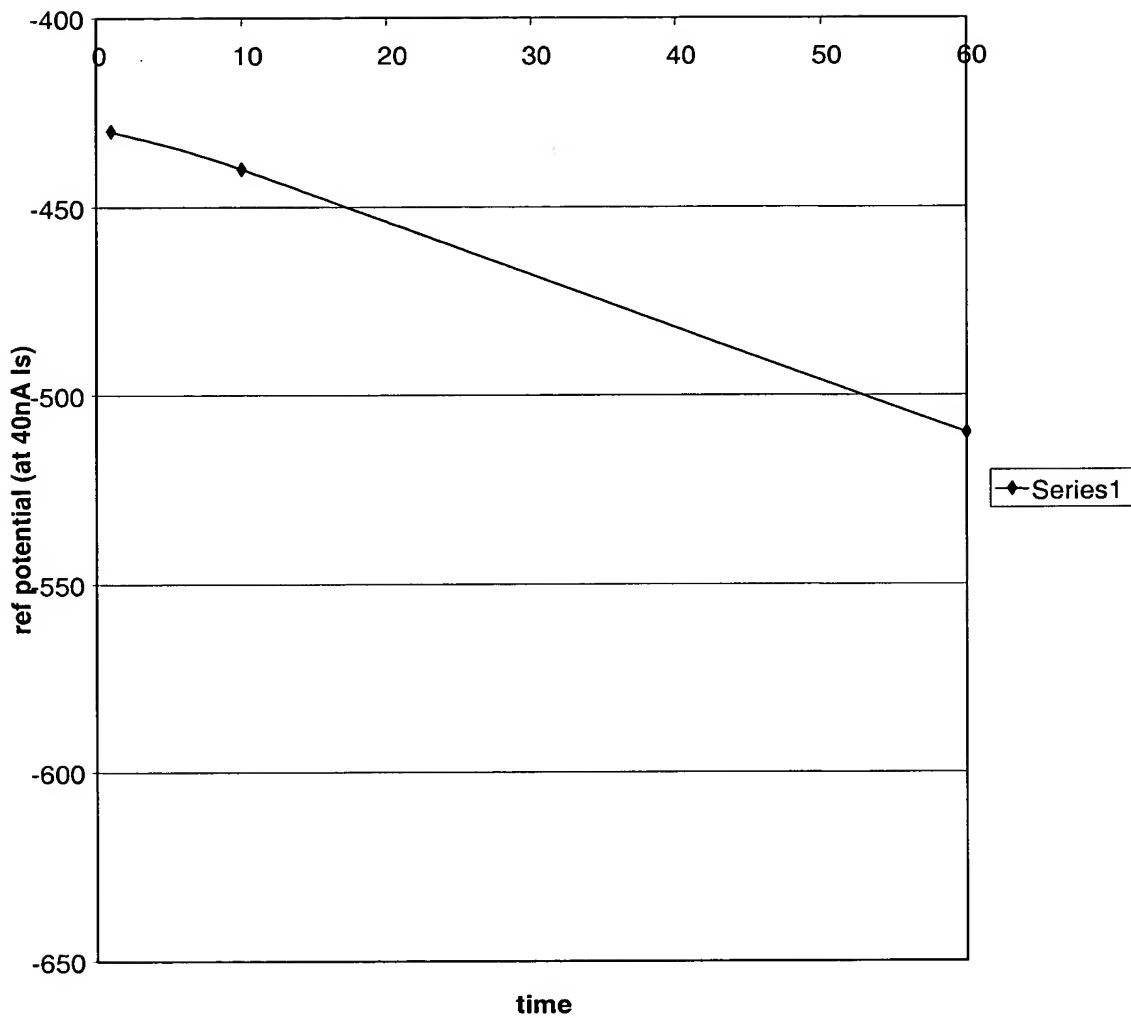


Fig. 13C

20/25

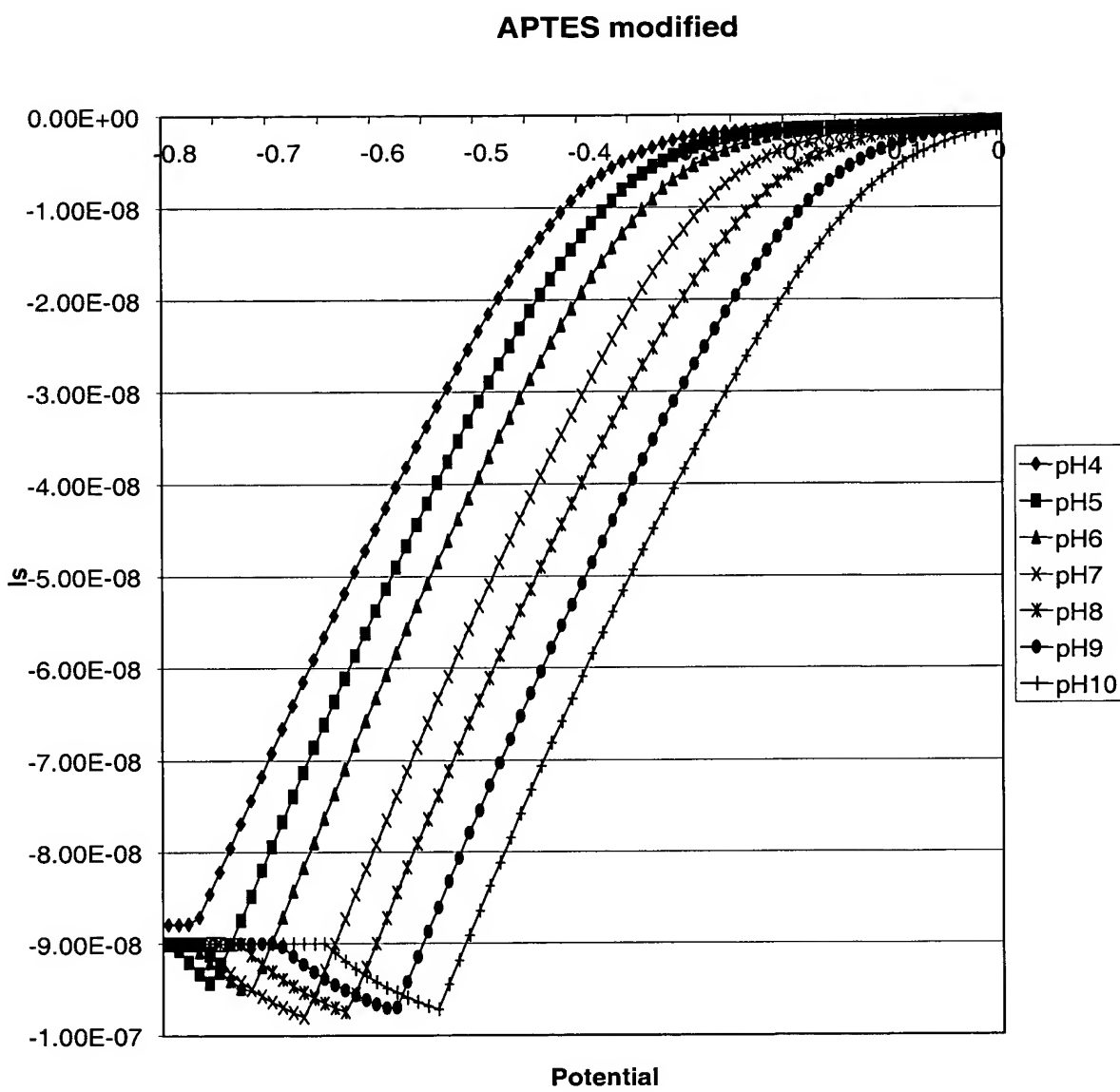


Fig. 14A

21/25

pH response APTES surface mod

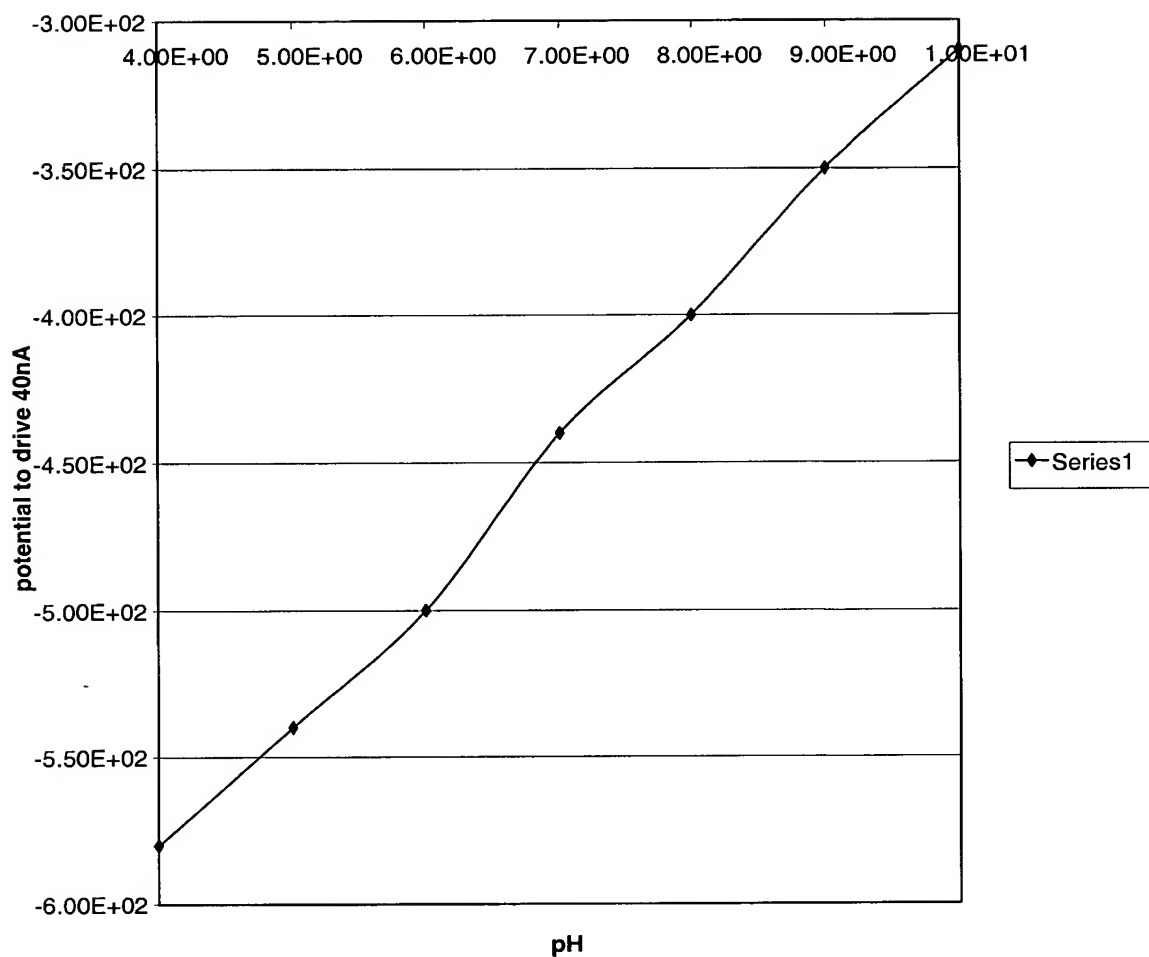


Fig. 14B

22/25

pH7 drift APTES

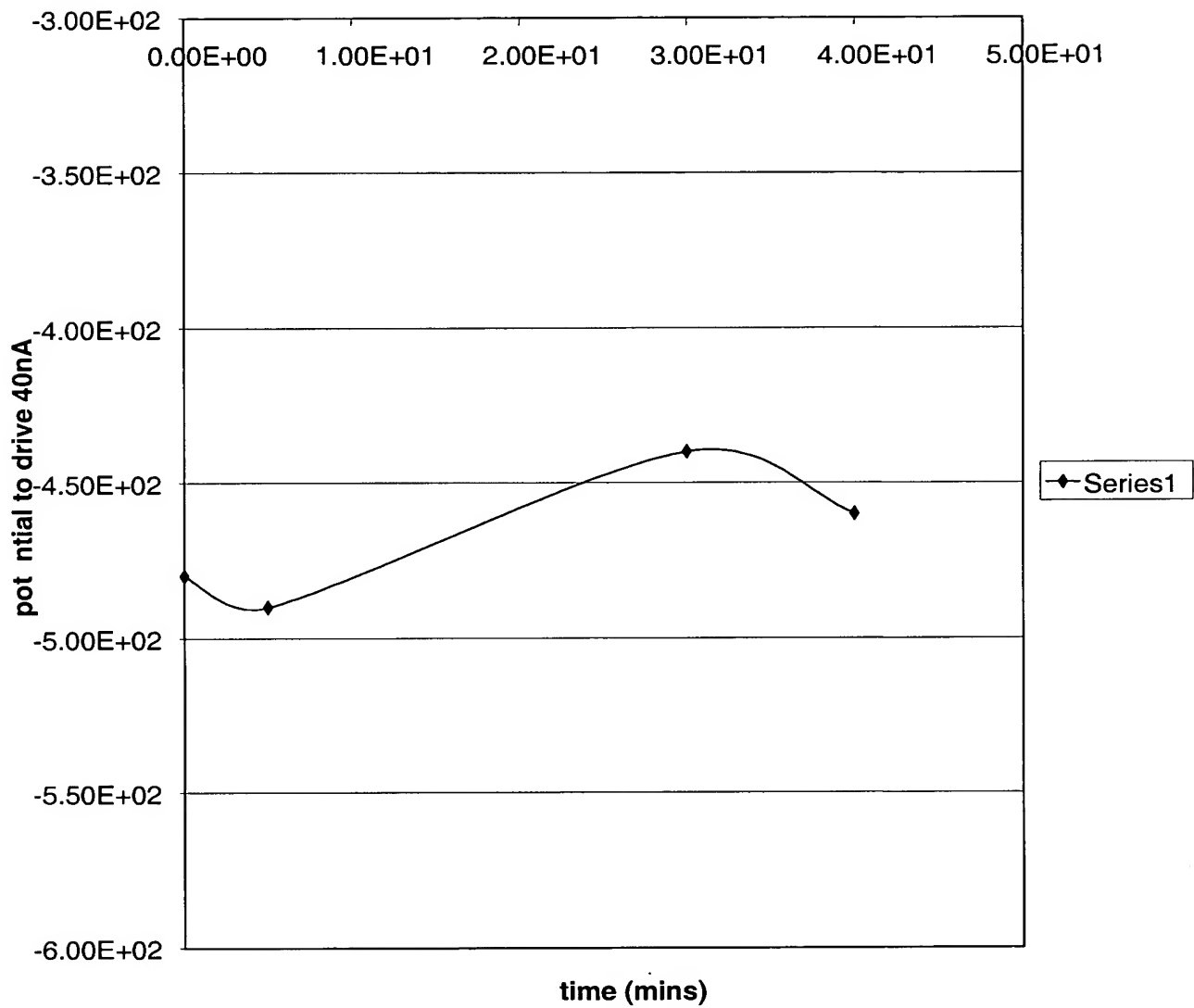


Fig. 14C

23/25

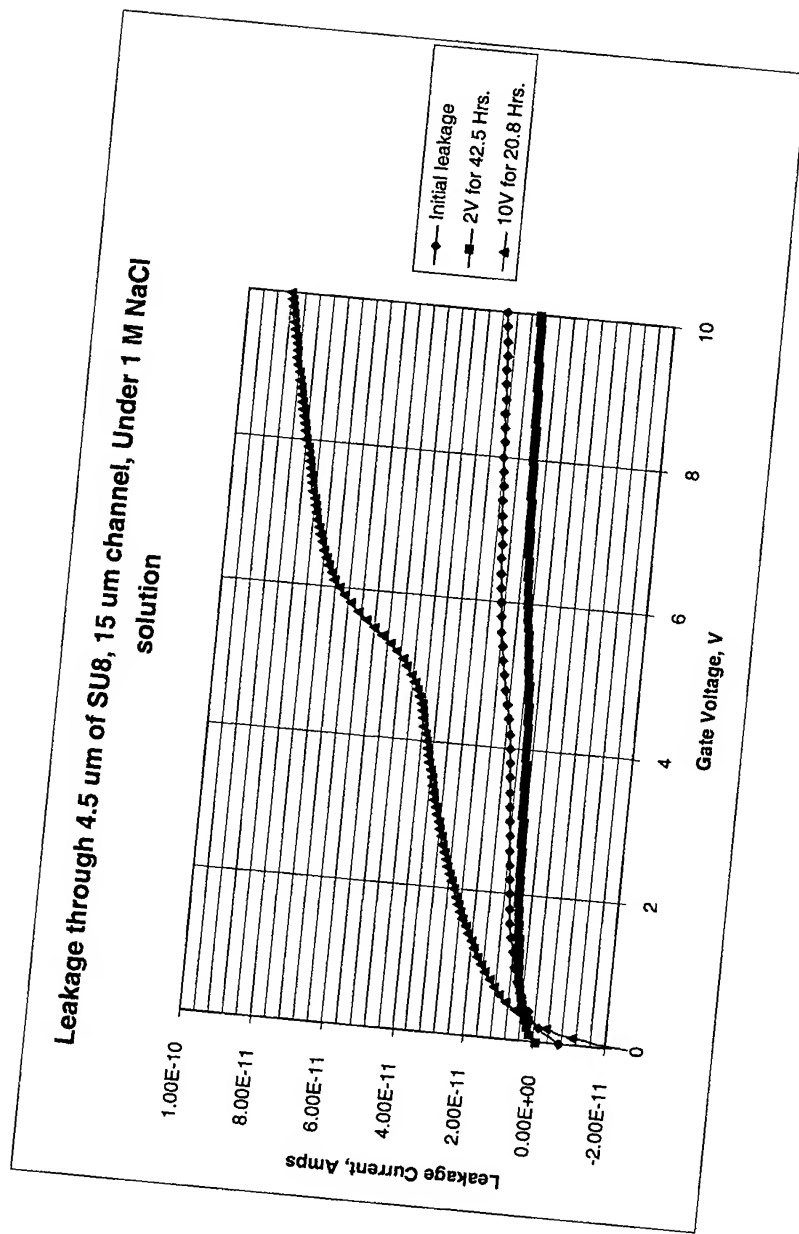


Fig. 15

24/25

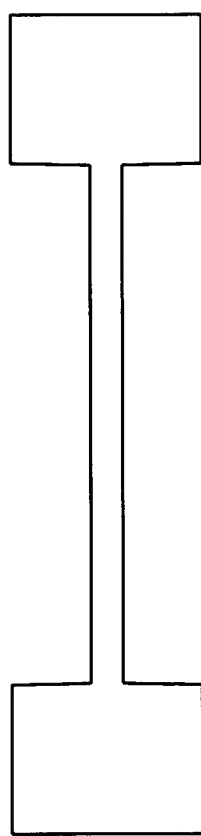


Fig. 16A

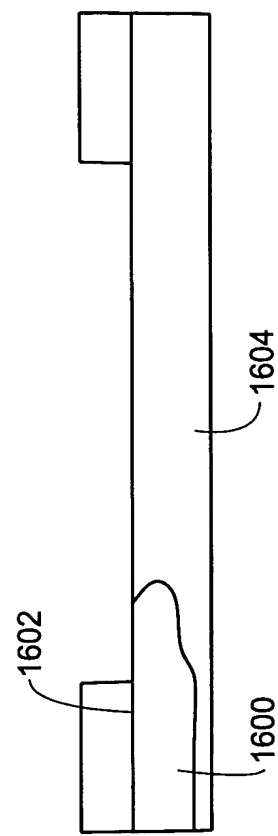


Fig. 16B

25/25

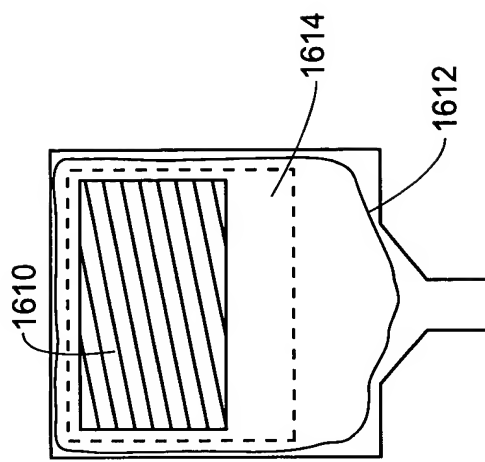


Fig. 16D

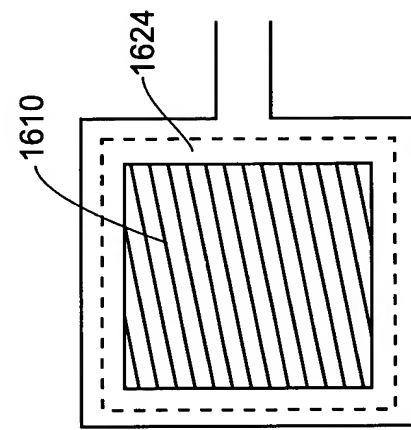


Fig. 16F

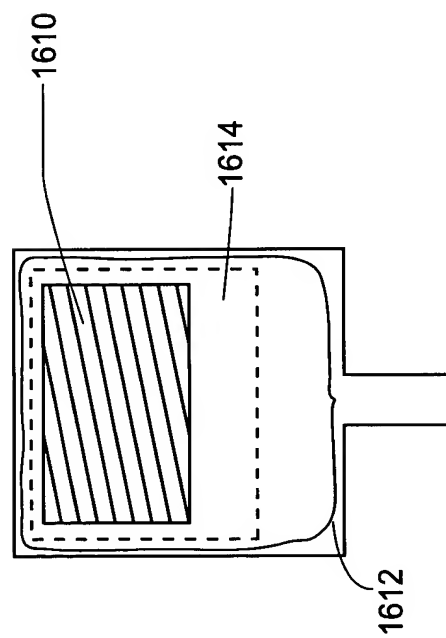


Fig. 16C

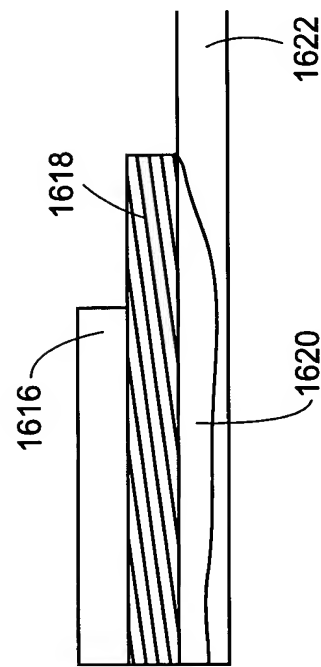


Fig. 16E